

# Résolution du problème isopérimétrique

Projet optimisation

M1 CSMI

Université de Strasbourg

Thomas Saigre & Romain Vallet

27 avril 2020

# Table des matières

Introduction

Définition du problème isopérimétrique

Maximisation d'une surface à périmètre constant

Le problème de Didon

# Problème isopérimétrique

## Definition

Un *problème isopérimétrique* est un problème d'optimisation qui vise à trouver un domaine de  $\mathbb{R}^2$  (plus d'autres conditions) qui maximise l'aire pour un périmètre constant :

$$\max_{D \in \mathcal{C}} \text{Aire}(D) \quad (\text{IA})$$

Avec  $\mathcal{C} = \{D \text{ convexe borné de } \mathbb{R}^2, \text{Per}(D) = p_0\}$  avec  $p_0 \in \mathbb{R}_+$  une constante.

Nous pouvons rajouter des contraintes sur  $\mathcal{C}$ .

## Problème iso-aire

### Definition

Un *problème iso-aire* est un problème d'optimisation qui vise à trouver un domaine de  $\mathbb{R}^2$  (plus d'autres conditions) qui minimise le périmètre pour une aire constante :

$$\min_{D \in \mathcal{C}} \text{Per}(D) \quad (\text{IP})$$

Avec  $\mathcal{C} = \{D \text{ convexe borné de } \mathbb{R}^2, \text{Aire}(D) = c\}$  avec  $c \in \mathbb{R}^+$  une constante.

Nous pouvons rajouter des contraintes sur  $\mathcal{C}$ .

Les problèmes *isopérimétrique* et *iso-aire* sont **équivalents**.

# Maximisation d'une surface à périmètre constant

## Théorème

La solution du problème *isopérimétrique* (ou *iso-aire*) avec  $p_0 = 2\pi$  pour des domaines à bords  $C^1$  est un cercle.

## Équivalence avec les fonctions (1/2)

### Remarque

Le problème est équivalent à trouver une fonction  $z : [-\pi, \pi] \rightarrow \mathbb{C}$  de classe  $C^1$  telle que  $z(-\pi) = z(\pi)$  et  $|z'| \equiv 1$  telle que son aire soit maximale :

$$\max_{z \in C^1, |z'| \equiv 1} \text{Aire}(z)$$

En effet, on a une bijection :

$\Omega$  domaine convexe borné à bord  $C^1$  de périmètre  $p_0$

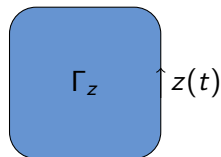
$\longleftrightarrow$

$z : [-\pi, \pi] \rightarrow \mathbb{C}$  de classe  $C^1$  telle que  $z(-\pi) = z(\pi)$  et  $|z'| \equiv 1$

On écrit  $\Gamma_z$  l'image réciproque de la bijection de  $z$ .

## Équivalence avec les fonctions (2/2)

- ▶ Aire de  $\Gamma_z = \text{Aire}(z) = \frac{1}{2} \text{Im} \left( \int_{-\pi}^{\pi} \bar{z} z' \right)$
- ▶ périmètre de  $\Gamma_z = \text{perimetre}(z) = \int_{-\pi}^{\pi} |z'| = 2\pi$



Correspondance domaine fonction

## Suite de la preuve (1/5)

Comme  $z \in L^2$ , par la **Théorie de Fourier**,  $z = \sum_{n \in \mathbb{Z}} c_n e_n$ , où  $e_n = s \mapsto e^{ins}$  avec  $n \in \mathbb{Z}$  et  $s \in [-\pi, \pi]$ . On note  $z = x + iy$  avec  $x$  et  $y$  respectivement parties réelle et imaginaire de  $z$ .

Le but est de prouver que si  $Aire(z)$  est maximale alors  $z = c_0 + c_1 e_1$  ce qui correspond à un cercle.

### Propriété

Soit  $z = c_0 + c_1 e_1$  avec  $|z'| \equiv 1$  alors  $\Gamma_z$  est un cercle.

### Démonstration.

On a  $|z'(s)| = |c_1| = 1$  donc  $c_1$  s'écrit  $e^{is_1}$  avec  $s_1 \in [-\pi, \pi]$ .

Donc  $\Gamma_z$ , le graphe de  $z = c_0 + e^{is_1} e_1$ , est le résultat d'une rotation d'angle  $s_1$  et d'une translation de  $c_0$  du graphe de la fonction  $e_1$  soit le cercle de centre 0 et de rayon 1 ( $\Gamma_{e_1} = \{e^{is}, s \in [-\pi, \pi]\} = \{(\cos(s), \sin(s)), s \in [-\pi, \pi]\}$ ). Alors  $\Gamma_z$  est un cercle.  $\square$



## Suite de la preuve (2/5)

D'une part :

$$\begin{aligned}
\text{Aire}(z) &= \frac{1}{2} \operatorname{Im} \int_{-\pi}^{\pi} \bar{z}(s) z'(s) ds \\
&= \frac{1}{2} \operatorname{Im} \int_{-\pi}^{\pi} \sum_{n \in \mathbb{Z}} \bar{c}_n e^{-ins} \sum_{m \in \mathbb{Z}} i m c_n e^{ims} ds \\
&= \frac{1}{2} \operatorname{Im} \sum_{n, m \in \mathbb{Z}} i m c_m \bar{c}_n \int_{-\pi}^{\pi} e^{ims} e^{-ins} \\
&= \frac{1}{2} \operatorname{Im} \sum_{n, m \in \mathbb{Z}} i m |c_m|^2 2\pi \delta_{n, m} \\
&= \pi \operatorname{Im} \left( i \sum_{n \in \mathbb{Z}} n c_n \bar{c}_n \right) \\
\text{Aire}(z) &= \pi \sum_{n \in \mathbb{Z}} n |c_n|^2
\end{aligned}$$

## Suite de la preuve (3/5)

D'autre part :

$$\begin{aligned}\int_{-\pi}^{\pi} |z'(s)|^2 ds &= \int_{-\pi}^{\pi} \sum_{n \in \mathbb{Z}} n c_n e^{ins} \sum_{m \in \mathbb{Z}} m \bar{c}_m e^{-ims} ds \\&= \sum_{n, m \in \mathbb{Z}} n m c_n \bar{c}_m \int_{-\pi}^{\pi} e^{ins} e^{-ims} ds \\&= \sum_{n, m \in \mathbb{Z}} n m c_n \bar{c}_m 2\pi \delta_{n, m} \\2\pi &= 2\pi \sum_{n \in \mathbb{Z}} n^2 |c_n|^2 \\1 &= \sum_{n \in \mathbb{Z}} n^2 |c_n|^2\end{aligned}$$

## Suite de la preuve (5/7)

Astuce magique :  $n \leq n^2$  d'où :

$$\text{Aire}(z) = \pi \sum_{n \in \mathbb{Z}} n |c_n|^2 \leq \pi \sum_{n \in \mathbb{Z}} n^2 |c_n|^2 = \pi$$

**Condition d'optimalité :**  $\text{Aire}(z) \leq \pi$

On remarque que pour  $z = c_0 + c_1 e_1$  :  $\text{Aire}(z) = \pi |c_1|^2 = \pi$ . Le problème admet au moins une solution.

Prouvons maintenant qu'elle est nécessairement de la forme  $c_0 + c_1 e_1$ .

## Suite de la preuve (6/7)

Ensuite, on introduit la *dévi*ation  $w = z - (c_0 + c_1 e_1)$ , et, avec la majoration  $1 + n^2 \leq \frac{5}{2}(n^2 - n)$  pour  $n \neq 0, 1$ , on a :

$$\begin{aligned}
 \|w\|_{H^1}^2 &= \frac{1}{2\pi} \int_{-\pi}^{\pi} (|w|^2 + |w'|^2) ds \\
 &= \sum_{n \in \mathbb{Z} \setminus \{0,1\}} (|c_n|^2 + n^2 |nc_n|^2) \text{ comme précédemment} \\
 &= \sum_{n \in \mathbb{Z} \setminus \{0,1\}} (1 + n^2) |c_n|^2 \\
 &= \frac{5}{2} \left( \sum_{n \in \mathbb{Z} \setminus \{0,1\}} n^2 |c_n|^2 - \sum_{n \in \mathbb{Z} \setminus \{0,1\}} n |c_n|^2 \right) \text{ par la majoration} \\
 \|w\|_{H^1}^2 &\leq \frac{5}{2} \left( 1 - \frac{\text{Aire}(z)}{\pi} \right) \text{ Le terme de droite est appelé } \mathbf{déficit isopérimétrique}.
 \end{aligned}$$

## Suite de la preuve (7/7)

Nous avons : si  $\text{Aire}(z) = \pi$  alors  $\|w\|_{H^1} = 0$ , alors  $z = c_0 + c_1 e_1$ .

Nous avons prouvé que le problème admet des solutions et qu'elles correspondent seulement à l'image réciproque de la bijection de  $c_0 + c_1 e_1$  (avec  $c_0$  et  $c_1 \in \mathbb{C}$  tel que  $|c_1| = 1$ ) c'est-à-dire un **cercle**.

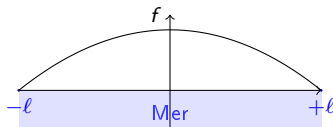
## Problème de la reine Didon

- ▶ Les terres où elle pourra s'établir seront « autant qu'il pourrait en tenir dans la peau d'un bœuf »
- ▶ Exemple de la ville de Cologne, au Moyen-Âge :



## Position du problème

- ▶  $\ell$  est fixé
- ▶ On cherche à maximiser l'aire du domaine pour un périmètre donné (ou de façon équivalente : minimiser le périmètre pour une aire donnée)



# Résultat

## Théorème :

*Le demi-cercle  $y(x) = \sqrt{\ell^2 - x^2}$  est solution du problème iso-aire en prenant  $A_0 = \frac{\pi}{2}\ell^2$ .  
 Il est donc solution du problème de Didon pour le choix de  $p_0 = \pi\ell$ .*

## Rappel de cours

Un point critique d'une fonction différentiable convexe est un minimum.

## Démonstration.

On montre que la fonction  $y$  résout la fonction d'Euler associée au problème.

Soit  $J$  la convexe  $J: f \mapsto \int_{-\ell}^{\ell} \sqrt{1 + f'(t)} dt$ . On pose  $\varphi: t \in \mathbb{R} \mapsto J(y + t\eta)$  avec  $\eta$  telle que  $\eta(-\ell) = \eta(\ell) = 0$  et  $\int_{-\ell}^{\ell} \eta = 0$ , puis on montre que  $\varphi'(0) = 0$ . □



## Preuve (1/4)

$$\begin{aligned}
\varphi'(0) &= \lim_{t \rightarrow 0} \frac{\varphi(t) - \varphi(0)}{t} \\
&= \lim_{t \rightarrow 0} \frac{J(y + t\eta) - J(y)}{t} \\
&= \lim_{t \rightarrow 0} \frac{1}{t} \left( \int_{-\ell}^{\ell} \sqrt{1 + ((y(x) + t\eta(x)))'^2} - \sqrt{1 + y'(x)^2} dx \right) \\
&= \lim_{t \rightarrow 0} \frac{1}{t} \int_{-\ell}^{\ell} \frac{1 + ((y(x) + t\eta(x)))'^2 - (1 + y'(x)^2)}{\sqrt{1 + (y(x) + t\eta(x))'^2} + \sqrt{1 + y'(x)^2}} \\
&= \lim_{t \rightarrow 0} \frac{1}{t} \int_{-\ell}^{\ell} \frac{2ty'(x)\eta'(x) + t\eta'(x)}{\text{idem}} dx \\
&= \int_{-\ell}^{\ell} \frac{y'(x)\eta'(x)}{\sqrt{1 + y'(x)^2}} dx
\end{aligned}$$

## Preuve (2/4)

Rappel :  $y(x) = \sqrt{\ell^2 - x^2}$ , avec une IPP :

$$\begin{aligned}\varphi'(0) &= \int_{-\ell}^{\ell} \frac{y'(x)\eta'(x)}{\sqrt{1+y'(x)^2}} dx = \left[ \frac{-\eta(x)x}{\ell} \right]_{-\ell}^{\ell} + \int_{-\ell}^{\ell} \frac{\eta(x)}{\ell} dx \\ &= 0 \quad \text{car } \eta(-\ell) = \eta(\ell) = 0 \text{ et } \int \eta = 0\end{aligned}$$

## Preuve (3/4)

$$\begin{aligned} 0 = \varphi'(0) &= \lim_{t \rightarrow 0} \frac{J(y + t\eta) - J(y)}{t} \\ &= \lim_{t \rightarrow 0} \frac{1}{t} \left( J(y + t(\eta - y + y)) - J(y) \right) \\ &= \lim_{t \rightarrow 0} \frac{1}{t} \left( J((1-t)y + t(\eta + y)) - J(y) \right) \\ &\leq \lim_{t \rightarrow 0} \frac{1}{t} \left( (1-t)J(y) + tJ(\eta + y) - J(y) \right) \quad \text{par convexité de } J \\ &= \lim_{t \rightarrow 0} \frac{1}{t} (-tJ(y) + tJ(\eta + y)) \\ &= -J(y) + J(\eta + y) \end{aligned}$$

$$\boxed{J(y) \leq J(y + \eta)}$$

## Preuve (4/4)

$$J(y) \leq J(y + \eta)$$

Cela étant vrai  $\forall \eta$  telle que  $\eta(-\ell) = \eta(\ell) = 0$  et  $\int \eta = 0$  :

$$J(y) \leq J(f) \quad \forall f \text{ avec } f(-\ell) = f(\ell) = 0 \quad \int f = A_0$$

( $f = y + \eta$  avec  $\eta$  bien choisi)

## Discrétisation

On discrétise en  $n + 2$  points  $f_i = f(x_i)$  pour  $i = -1, \dots, n$  ( $f_{-1} = f_n = 0$ ).

### Problème d'optimisation

Le problème devient un problème d'optimisation en dimension finie :

$$\max_{f \in (\mathbb{R}^+)^n, \text{Aire}(f)=a_0} lg(f)$$

Avec :

► Aire :  $\text{Aire}(f) \simeq h \sum_{i=0}^n f_i$

► Longueur :  $lg(f) \simeq \sqrt{f_0^2 + h^2} + \sum_{i=0}^{n-1} \sqrt{(f_{i+1} - f_i)^2 + h^2} + \sqrt{f_{n-1}^2 + h^2}$

## Algorithme d'Uzawa

Nous allons utiliser l'algorithme d'Uzawa projeté (on effectue une projection pour voir un résultat positif, sans avoir à ajouter de contrainte supplémentaire) :

### Formule du Lagrangien

Le Lagrangien s'écrit :

$$\begin{aligned}
 L: \mathbb{R}^n \times \mathbb{R} &\rightarrow \mathbb{R} \\
 f, \lambda &\rightarrow lg(f) + \lambda(\text{Aire}(f) - a_0)
 \end{aligned}$$

Il s'agit d'une variante d'Uzawa (méthode d'Arrow–Hurwicz) : les étapes de recherches des *min* et *max* sont remplacées par des méthodes de gradient (montant ou descendant)

Au lieu de rechercher  $\rho$  maximisant  $L(f_k - \rho \nabla L(f, \lambda))$ , nous voulons  $\rho$  tel que  $L(f_{k+1}) = L(f_k - \rho \nabla L(f, \lambda)) < L(f_k)$ .

Au lieu de rechercher  $\sigma$  minimisant  $\lambda_k + \sigma(A(f) - a_0)$ , nous voulons  $\sigma$  tel que  $\lambda_{k+1} = \lambda_k + \sigma(A(f) - a_0) > \lambda_k$ .

## Présentation des algorithmes (1/3)

---

### Algorithme 1 : Résout le problème de Didon par Uzawa

---

**Input** :  $f \in \mathbb{R}^n$  et  $\lambda \in \mathbb{R}$

$f_0 \leftarrow f$

$\lambda_0 \leftarrow \lambda$

**while** *condition d'arrêt* **do**

$\rho_{k+1} \leftarrow \text{recherche\_rho}(f_k, \lambda_k)$

$f_{k+1} \leftarrow f_k - \rho_{k+1} \text{Grad}(f, \lambda)$

    projeter  $f_{k+1}$  sur  $(\mathbb{R}^+)^n$

$\sigma_{k+1} \leftarrow \text{recherche\_sigma}(f_{k+1}, \lambda_k)$

$\lambda_{k+1} \leftarrow \lambda_k + \sigma_{k+1}(A(f_k) - a_0)$

$k \leftarrow k + 1$

**end**

**Output** :  $f$

---

## Présentation des algorithmes (2/3)

---

**Algorithme 2** : recherche\_rho : Renvoie le pas pseudo-optimal pour la variable primale

---

**Input** :  $f \in \mathbb{R}^n$  et  $\lambda \in \mathbb{R}$

**Result** :  $L(fb_{is}, \lambda) < L(f, \lambda)$  avec  $fb_{is} = f - \rho_i \nabla L(f, \lambda)$

$fb_{is_0} \leftarrow f$

$\rho_0 = 1$  (valeur arbitraire)

**while**  $L(fb_{is_i}, \lambda) > L(fb_{is_{i-1}}, \lambda)$  **do**

$\rho_{i+1} \leftarrow \rho_i / 1.2$

$fb_{is_{i+1}} \leftarrow fb_{is_i} - \rho_{i+1} \text{Grad}(f, \lambda)$

$i \leftarrow i + 1$

**end**

**Output** :  $\rho_i$

---



## Présentation des algorithmes (3/3)

---

**Algorithme 3** : recherche\_sigma : Renvoie le pas pseudo-optimal pour la variable duale

---

**Input** :  $f \in \mathbb{R}^n$  et  $\lambda \in \mathbb{R}$

**Result** :  $\lambda_{bis} > \lambda$  avec  $\lambda_{bis} = \lambda + \sigma(A(f) - a_0)$

$\lambda_{bis_0} = \lambda$

$\sigma_0 \leftarrow 1$  (valeur arbitraire)

**while**  $\lambda_{bis_i} < \lambda_{bis_{i-1}}$  **do**

$\sigma_{i+1} \leftarrow \sigma_i / 1.3$

$\lambda_{bis_{i+1}} \leftarrow \lambda_{bis_i} + \sigma_{i+1}(A(f) - a_0)$

$i \leftarrow i + 1$

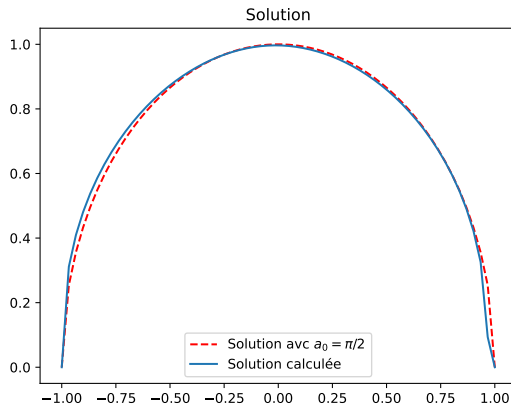
**end**

**Output** :  $\sigma_i$

---

## Résultats

Avec  $\ell = 1$  et  $a_0 = \frac{\pi}{2}$  : la solution exacte est un demi-cercle.

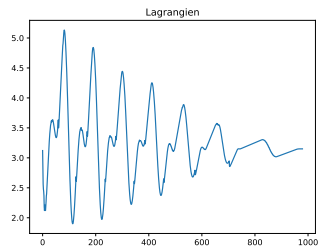
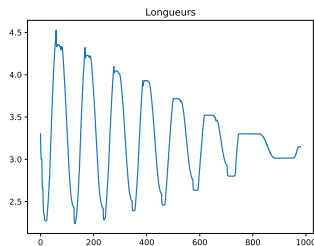
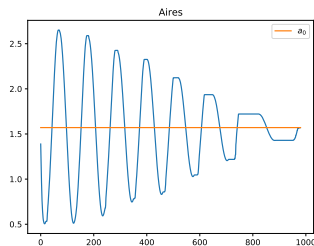


Résultat obtenu : 3.1490304292815354

# Résultats

Avec  $\ell = 1$  et  $a_0 = \frac{\pi}{2}$  : la solution exacte est un demi-cercle.

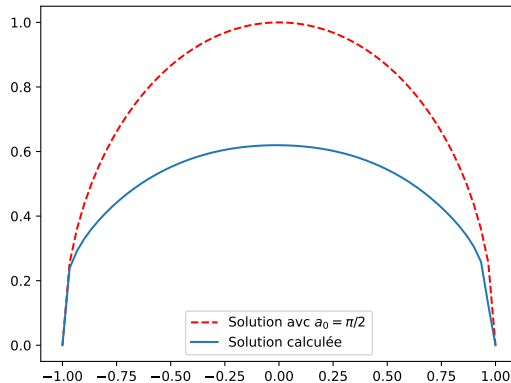
Évolution au cours des 980 itérations :



## Résultats (suite)

$$a_0 = 1$$

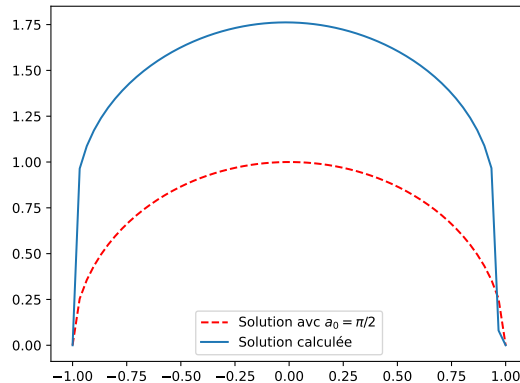
Solution



En 287 itérations : 2.625

$$a_0 = 3$$

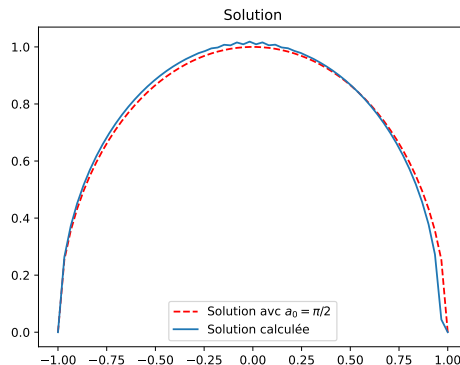
Solution



En 2768 itérations : 4.622

## Autre méthode de résolution : Lagrangien augmenté

- $L_b(f, \lambda) = I_g(f) + \lambda (A(f) - a_0) + \frac{b}{2} (A(f) - a_0)^2$
- Mise à jour du multiplicateur :  $\lambda^{n+1} = \lambda^n + b (A(f_k) - a_0)$



## Autre méthode de résolution : Lagrangien augmenté

$a_0 = 4$ , en 1671 itérations (contre au moins  $2 \times 10^5$  avec le lagrangien « normal »)

